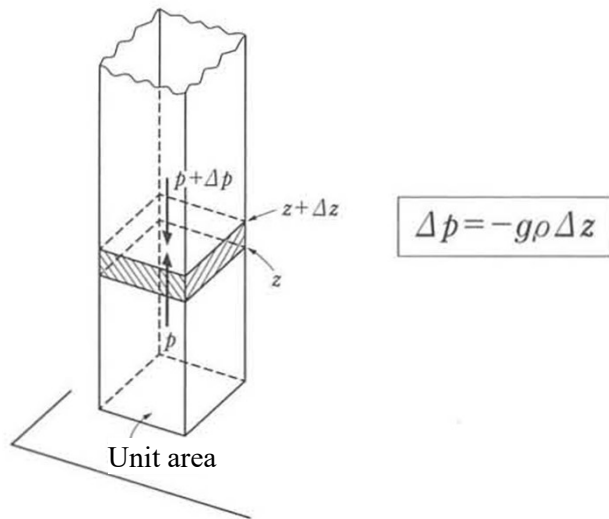


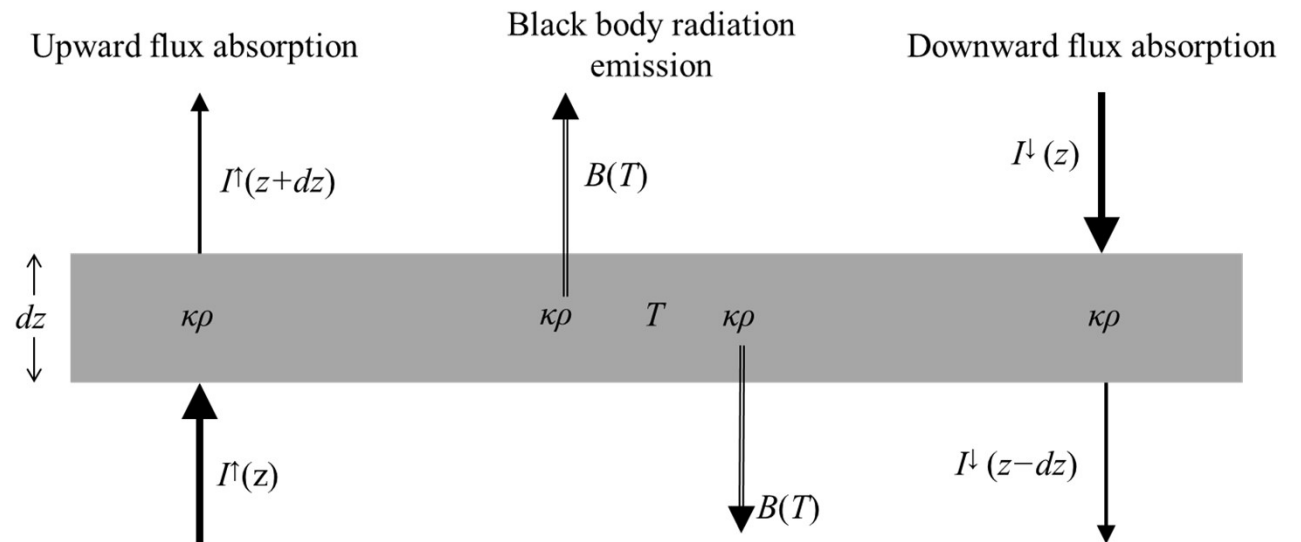
### 3. Atmospheric vertical structure

Heating	Radiation	Conduction	Convection
Heat transfer	Electromagnetic waves	Molecular motions	Fluid motions
Condition	Including vacuum	Continuum	Gravity
Governing law	Planck's law (Stefan-Boltzmann, Wien)	Molecular diffusion	Laminar advection Turbulent (eddy) diffusion
Temperature profile	dependent on optical depth (exponential)	exponential	isentropic (upward decreasing)
Constituents	—	Gravity separation	Homogenizing

### Hydrostatic equilibrium



### “Two-Stream” Approximation for “gray” atmosphere



# Vertical distribution of pressure

- Hydrostatic equation:

$$\frac{dp}{dz} = -g\rho$$

- Rewriting  $\rho$  by the ideal gas equation (Boyle-Charles law):  $p = R\rho T$

$$\frac{dp}{dz} = -\frac{g}{RT}p \rightarrow \frac{1}{p} \frac{dp}{dz} - \frac{g}{RT} \equiv -\frac{1}{H}, \quad H \approx \frac{287 [\text{J K}^{-1}\text{kg}^{-1}] \cdot 250 [\text{K}]}{9.8 [\text{ms}^{-2}]} \approx 7[\text{km}]$$

- Differentiation of logarithmic function:

$$\frac{1}{y} \frac{dy}{dx} = \frac{d \log_e y}{dx} = \frac{d \ln y}{dx} \rightarrow \frac{d \ln p}{dz} = -\frac{1}{H}$$

- Integration:

$$\ln p = -\frac{1}{H}z + \text{const.}$$

- Exponential function:

$$p = e^{-\frac{1}{H}z + \text{const.}} = e^{\text{const.}} \cdot e^{-\frac{1}{H}z} \equiv \text{const.}' \cdot e^{-\frac{z}{H}}$$

- Bottom boundary condition:

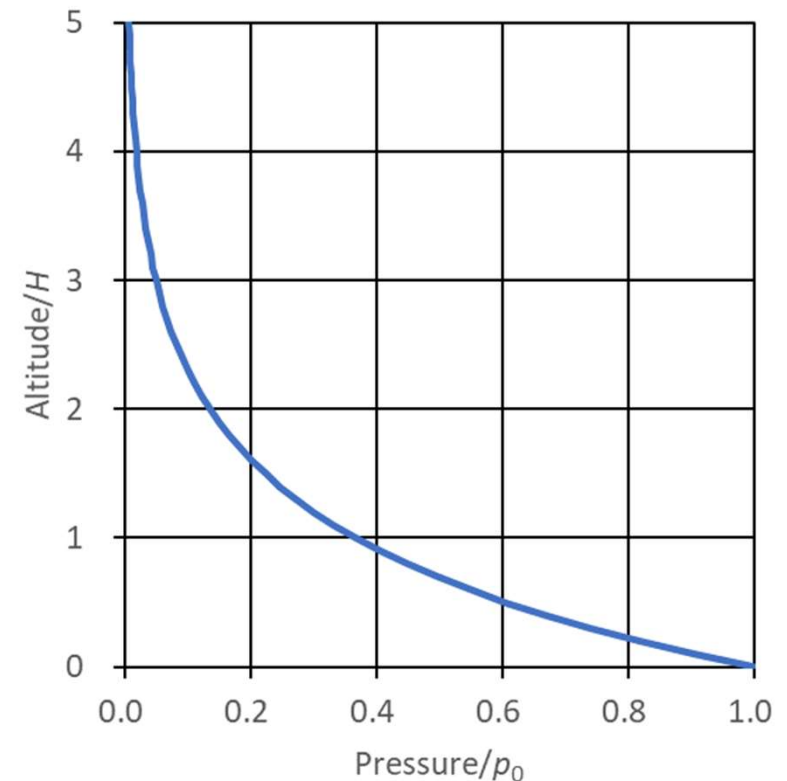
$$p = p_0 \quad \text{at } z = 0 \rightarrow \text{const.}' = p_0$$

- Solution:

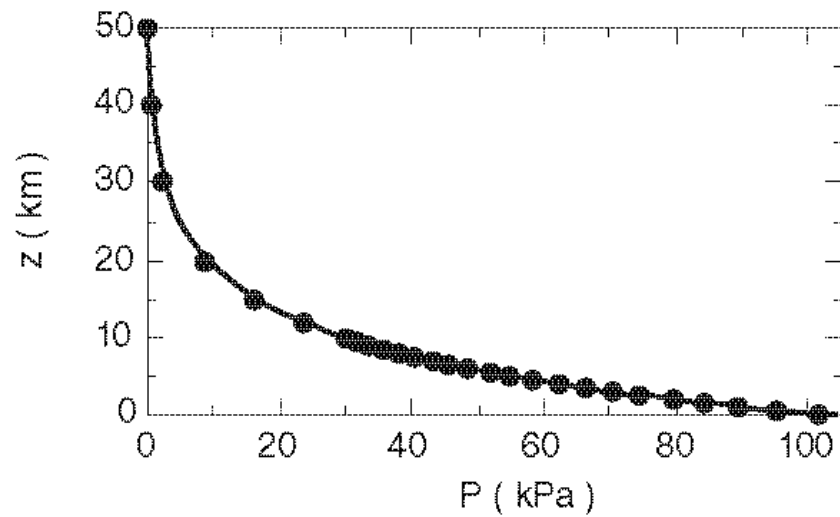
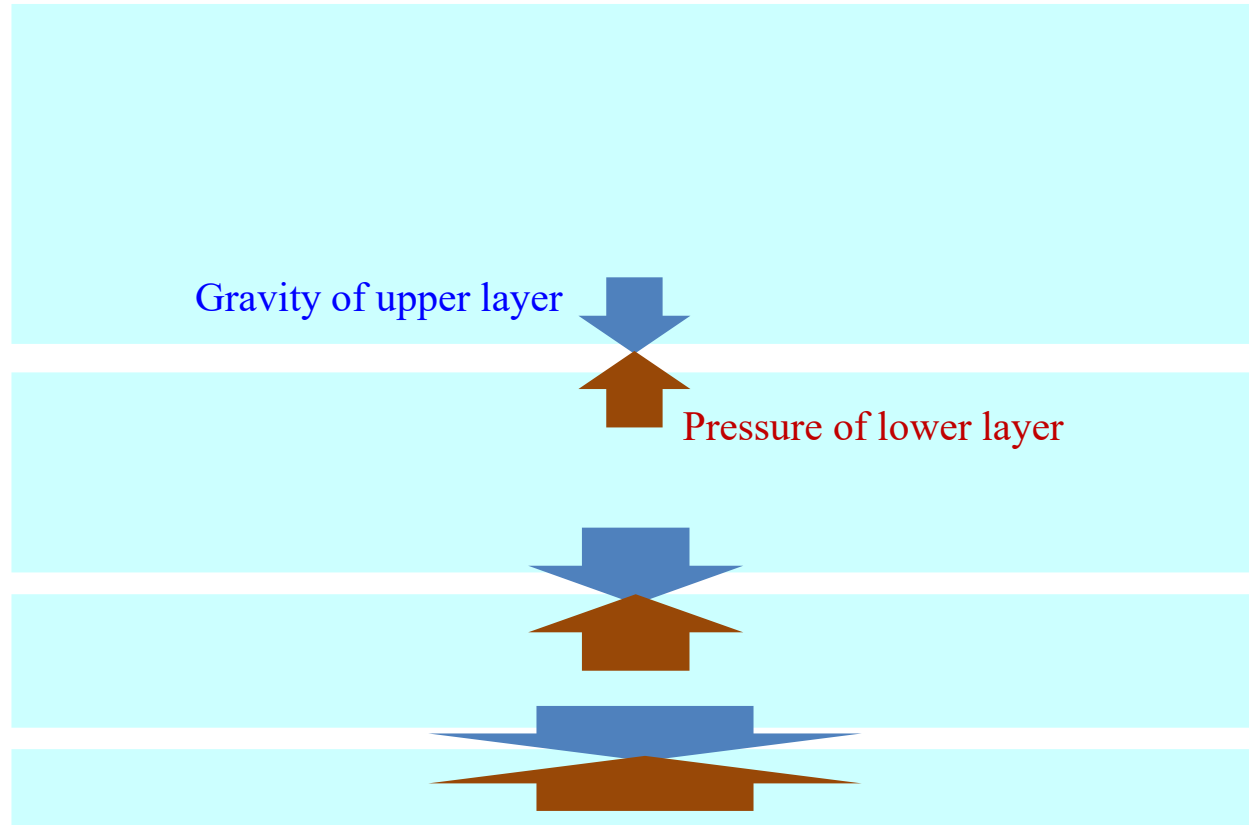
$$p = p_0 \cdot e^{-\frac{z}{H}}$$

- Meaning of the “scale height”  $H$ :

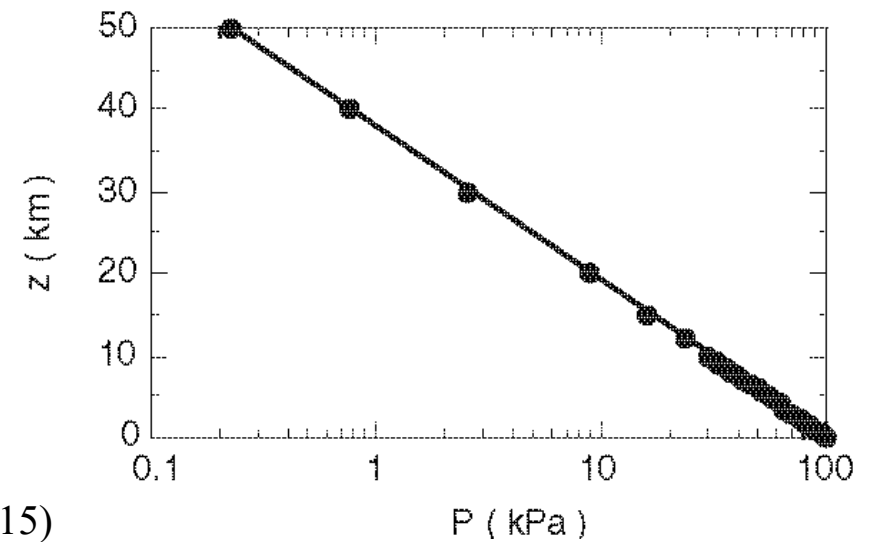
$$p = \frac{p_0}{e}, \frac{p_0}{e^2}, \dots, \frac{p_0}{e^n}, \dots \quad \text{at } z = H, 2H, \dots, nH, \dots$$



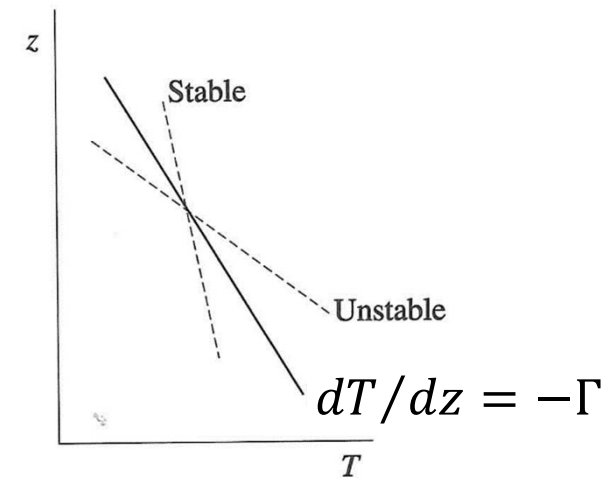
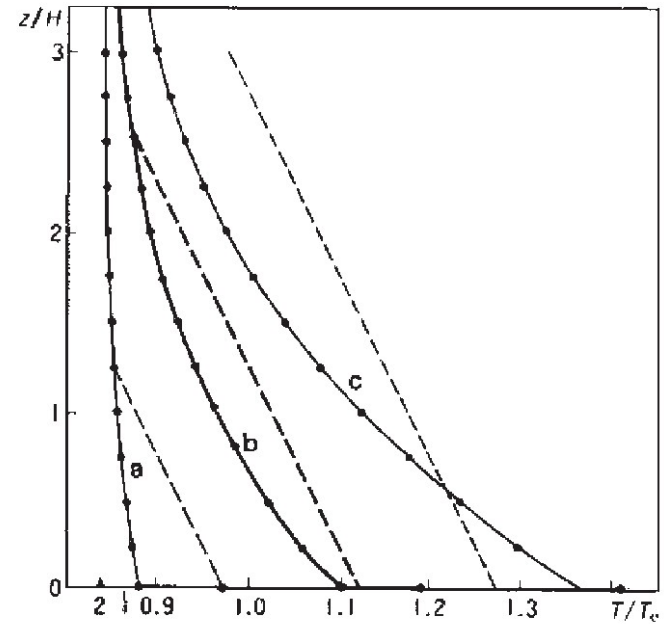
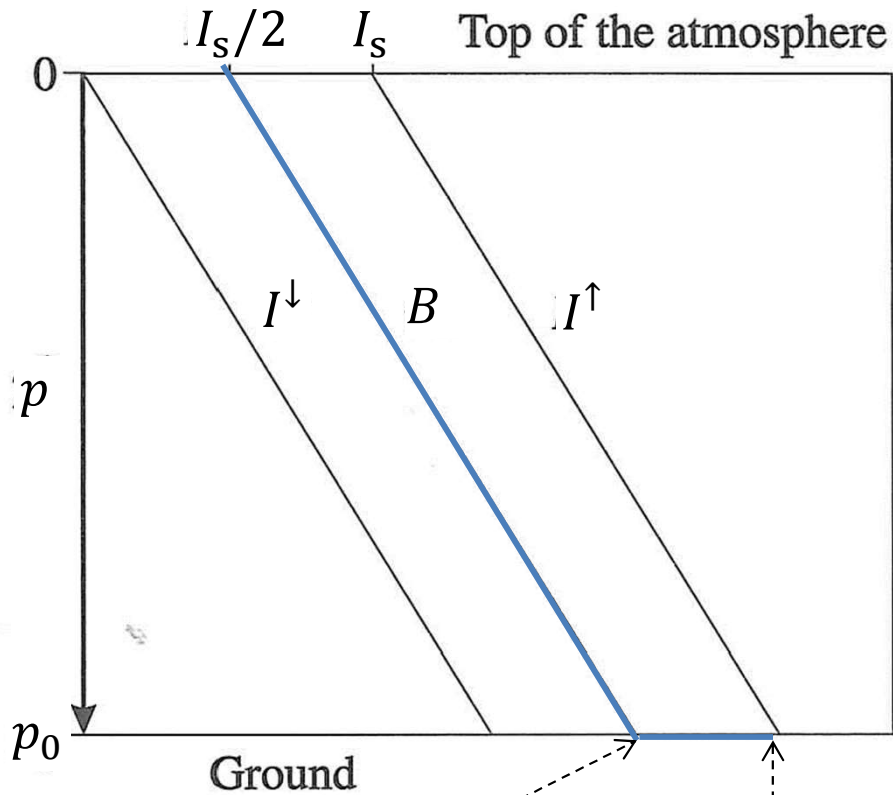
# Pressure upward exponential decrease (Hydrostatic equilibrium)



(Stull, 2015)



$$B(p) = \frac{I_s}{2} \left( \frac{\kappa}{g} p + 1 \right) \longrightarrow T(p) = \left( \frac{B}{\sigma} \right)^{1/4} = \left[ \frac{I_s}{2\sigma} \left( \frac{\kappa}{g} p + 1 \right) \right]^{1/4}$$



Atmos. Temp. at the bottom

$$\left[ \frac{I_s}{2\sigma} \left( \frac{\kappa}{g} p_0 + 1 \right) \right]^{1/4} = \left( \frac{B(p_0)}{\sigma} \right)^{1/4}$$

Ground temperature

$$T = \left( \frac{I^\uparrow(p_0)}{\sigma} \right)^{1/4} = \left( \frac{B(p_0) + I_s/2}{\sigma} \right)^{1/4}$$

# 1-dimensional climate: Radiative-convective equilibrium

- Radiative equilibrium

$$Q = \partial/\partial z [S + I^\uparrow - I^\downarrow] = 0$$

( $S \sim 0$  for  $z \neq 0$ , ozone layer)

$$\Rightarrow \partial/\partial p [\sigma T^4] \sim S/p_1$$

$\Rightarrow -\partial T/\partial z$  increases downward

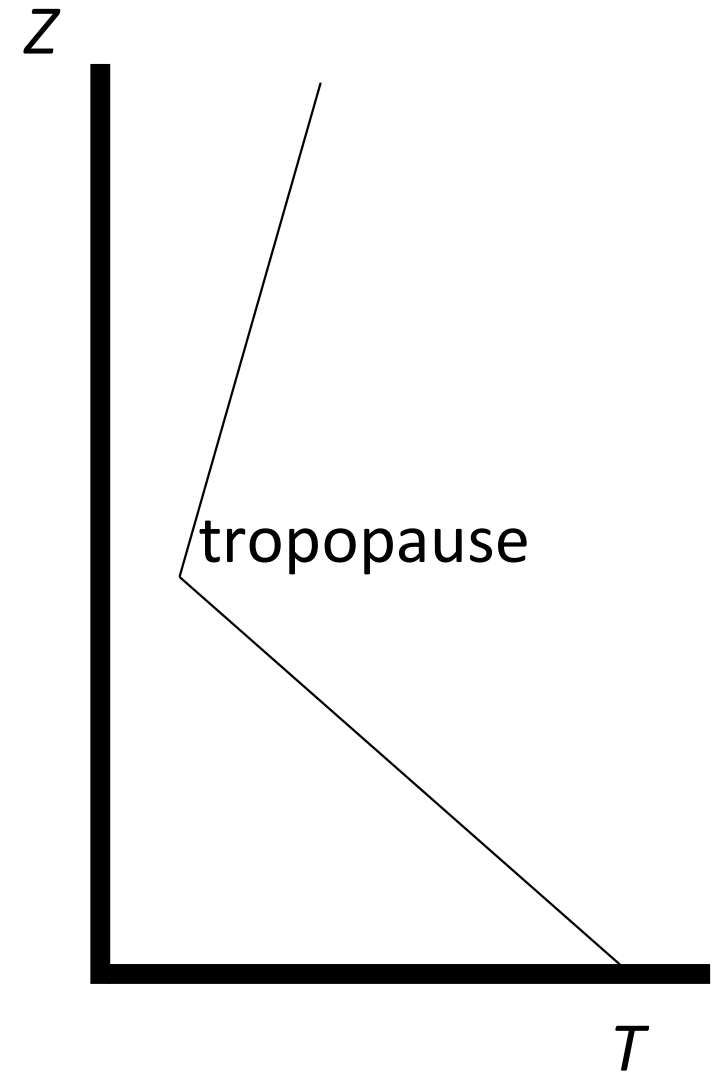
- Convective equilibrium (adjustment)

$$\partial\theta/\partial z = 0$$

$\Rightarrow$  (dry) adiabatic lapse rate:

$$-\partial T/\partial z = g/C_p \doteq 10 \text{ K/km}$$

- Separation of stratosphere (radiative)  
and troposphere (convective)



# Balloons, vertical observations



Joseph-Michel Montgolfier (1740 – 1810)  
Jacques-Étienne Montgolfier (1745 – 1799)



Jacques Alexandre César Charles  
(1746 – 1823)



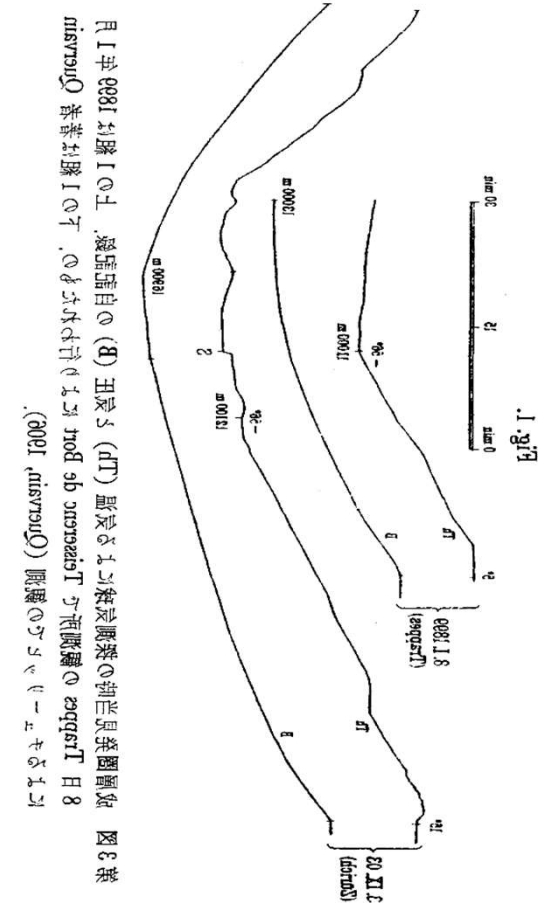
Leon Philippe Teisserenc de Bort  
(1855 – 1913)



Montgolfière (hot air type) balloon  
(at Annonay in June 4, 1783)



Charlière (light gas type) balloon  
(at Paris in December 1, 1783)



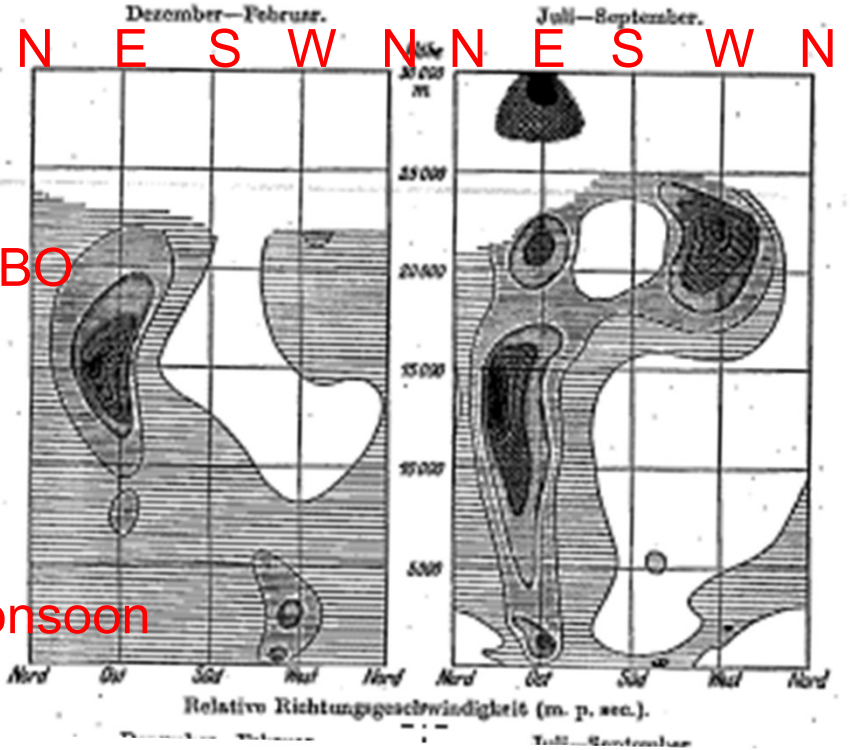
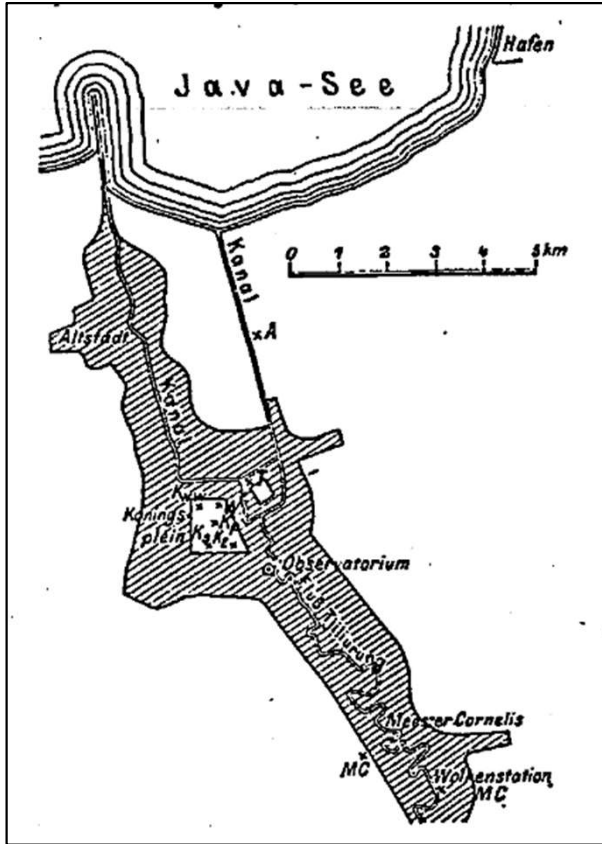
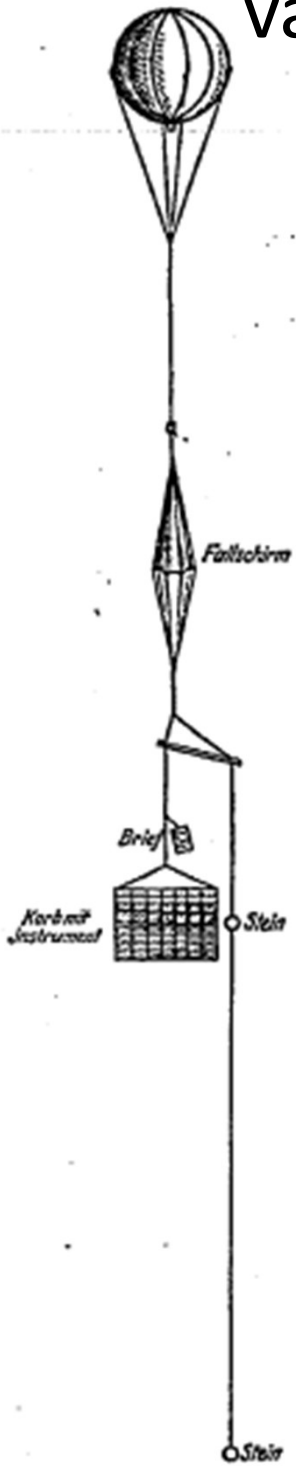
月 1 辛酉 1881 年 12 月 1 日、パリにて、気球の昇空を観察する。この時、気球は、高度 10000 メートルに達し、その高度で、雲の層を観察した。この結果、雲の層は、高度 10000 メートルから 15000 メートルまであり、その層は、雲の層の厚さは、約 5000 メートルである。この結果、雲の層は、高度 10000 メートルから 15000 メートルまであり、その層は、雲の層の厚さは、約 5000 メートルである。この結果、雲の層は、高度 10000 メートルから 15000 メートルまであり、その層は、雲の層の厚さは、約 5000 メートルである。

図 1 雲

van Bemmelen (1913, 1922)

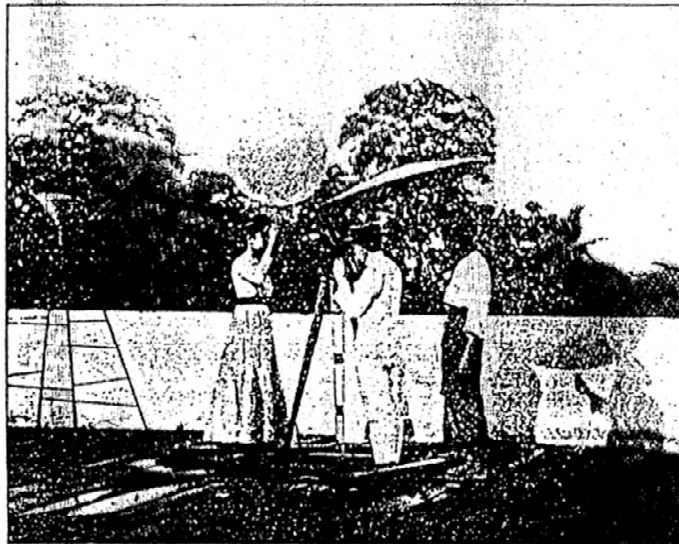
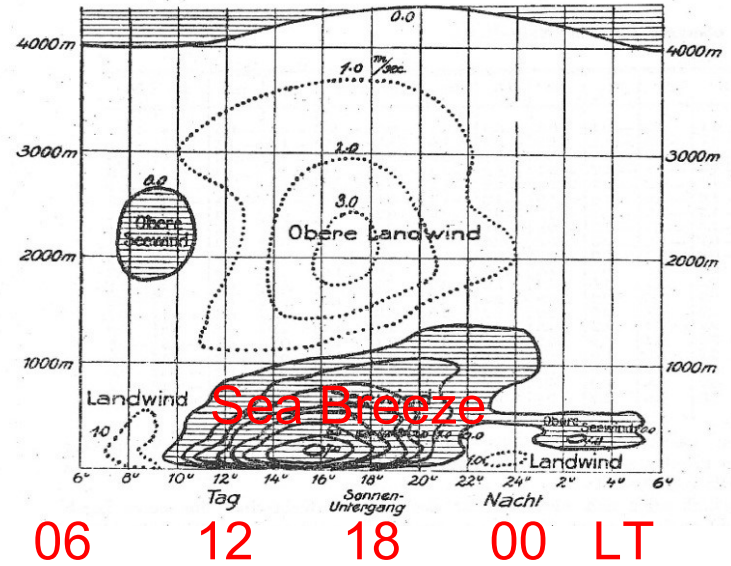
Rainy (Dec-Feb)

Dry (Jul-Sep)



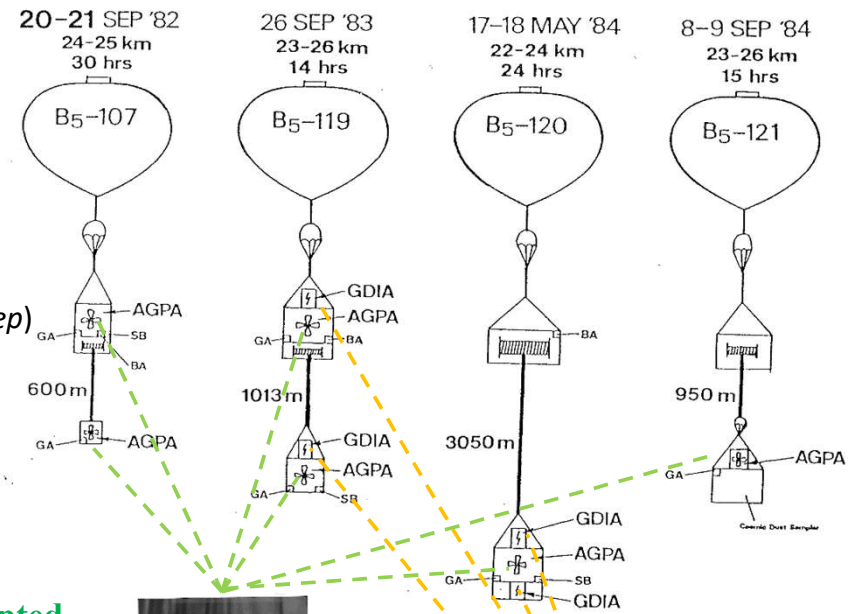
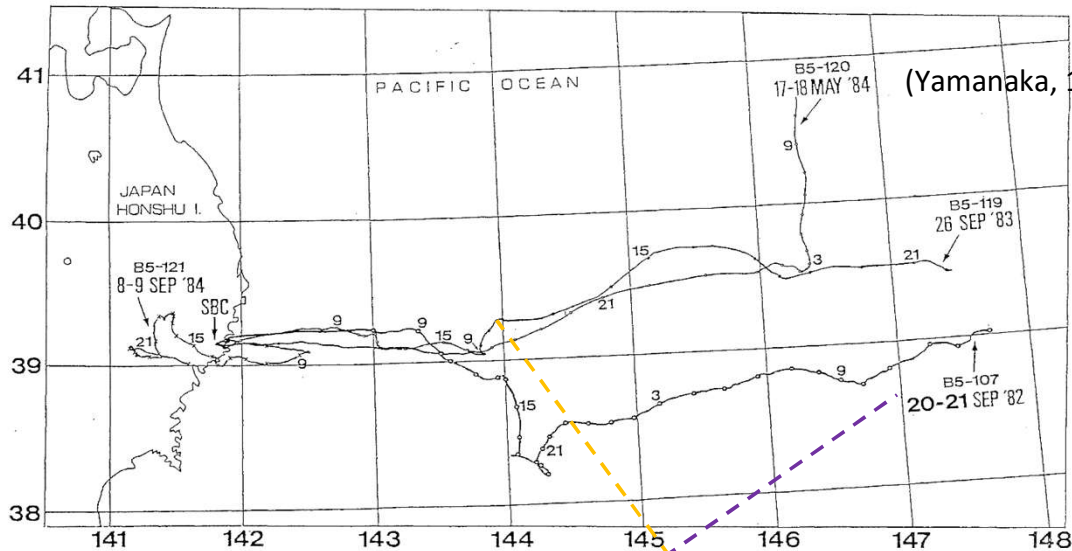
06-24 LT hourly for May-Nov;  
08, 14, 19 LT for Dec-Apr  
during 1905-15

Geschwindigkeits-Isoplethen für  
Land- und Seewind  
in Batavia



06 12 18 00 LT

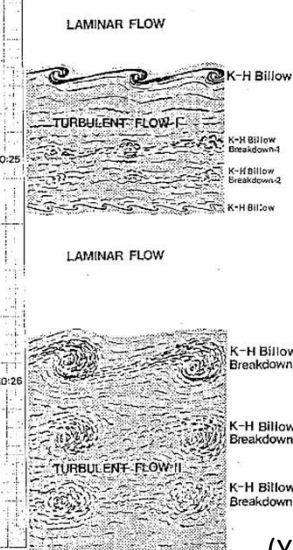
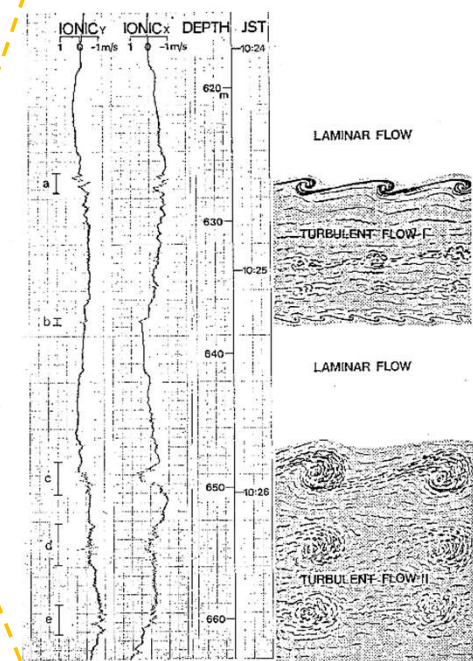
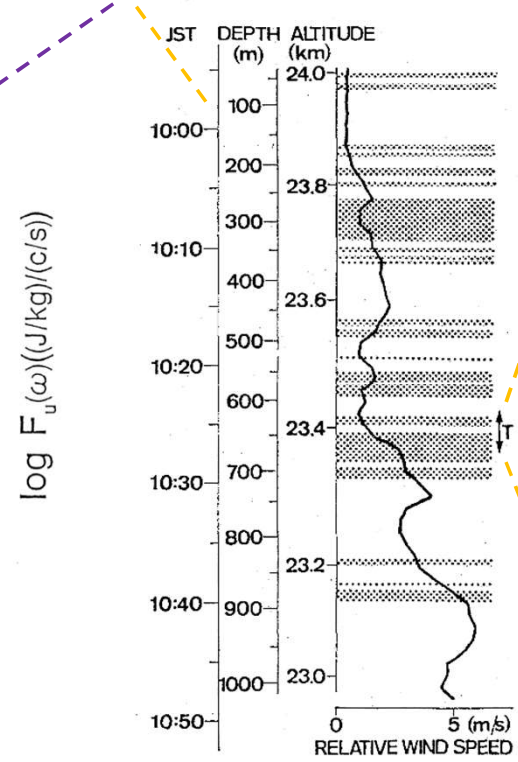
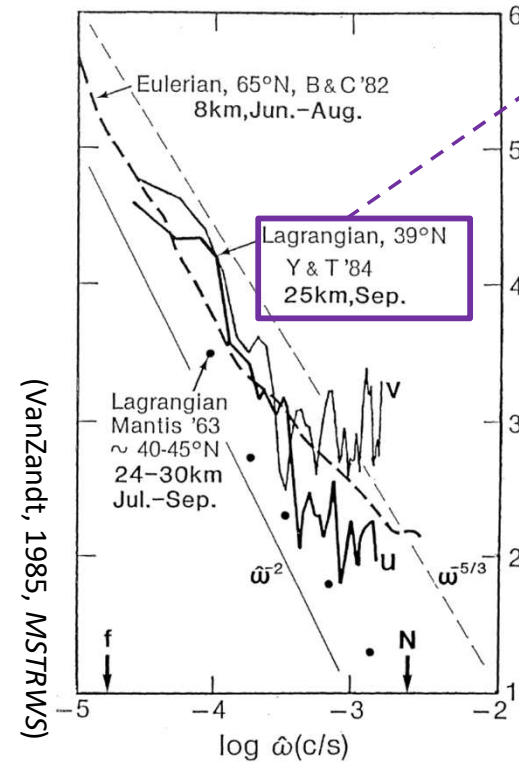
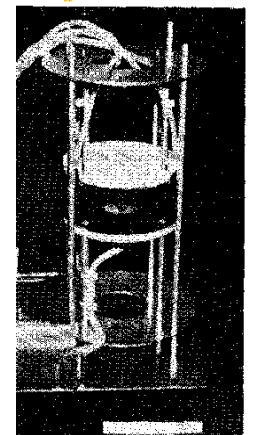
# Anemometer, reel d/u & balloon trajectory for stratospheric gravity waves/turbulence (1980 - 4; WRI-Nagoya U + ISAS / MAP)



Adapted Gill-type propeller anemometer (Yamanaka et al, 1985, JAOT)



Glow discharge ionic anemometer



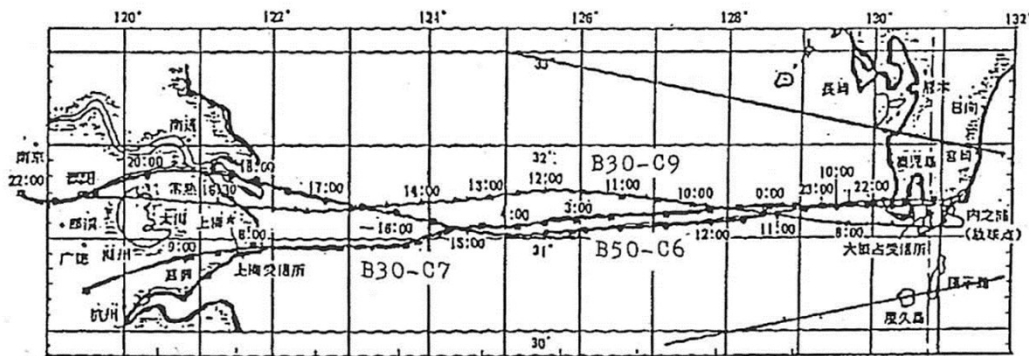
(Yamanaka et al, 1985, RSJ)

(Yamanaka et al, 1985, JMSJ)



c) 1988

DISTANCE FROM LAUNCHING SITE

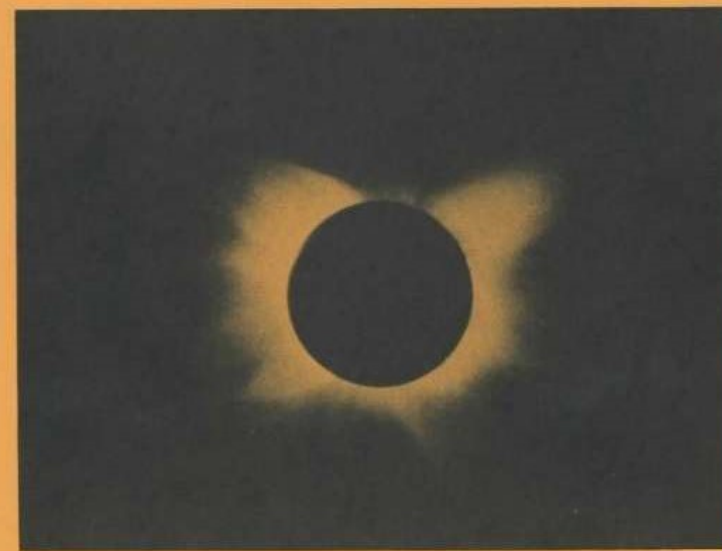


East China Sea transoceanic flights (1986~88; ISAS, CAS-IAP) (Nishimura et al., 1982, 1988, 1990)

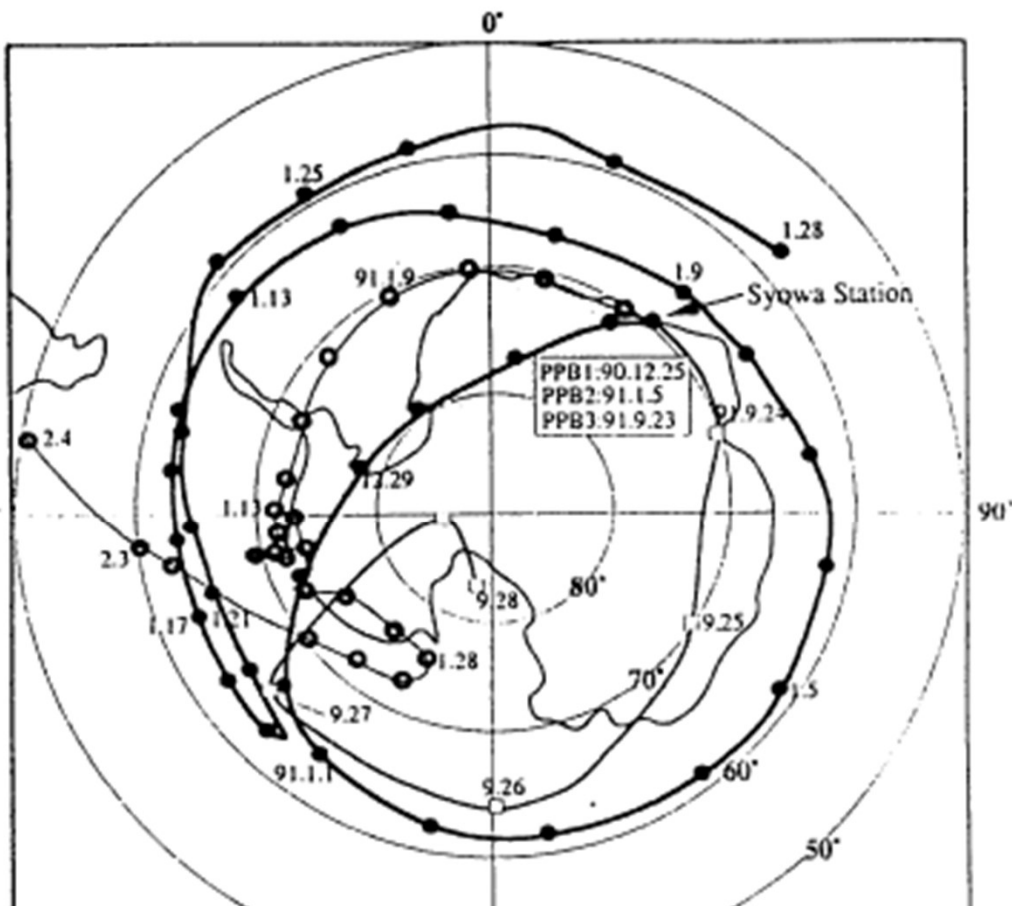
# インドネシア日食気球観測と惑星間塵

—太陽ダストリングの観測をめぐって—

(1983/6/11; ISAS, NAO, LAPAN)



a.



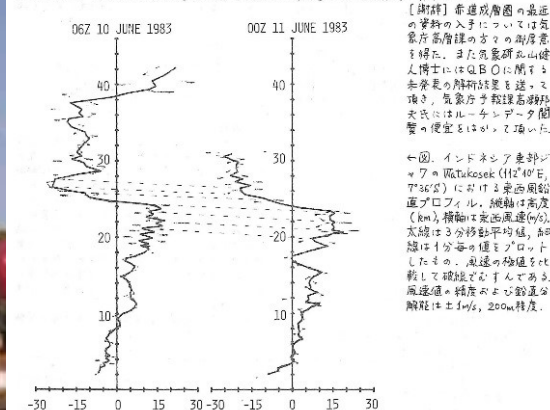
Polar Patrol Balloons (PPB) (1990 - 91; ISAS, NIPR, NASA) (Nagata et al. 1985; Nishimura et al. 1985; Yamanaka et al. 1988; Hirasawa et al. 1990; Ejiri et al. 1993; ....)

## 108 (Yamanaka et al., Oct 1983; MSJ)

QBO東西風交替期の赤道成層圏風系の鉛直微細構造

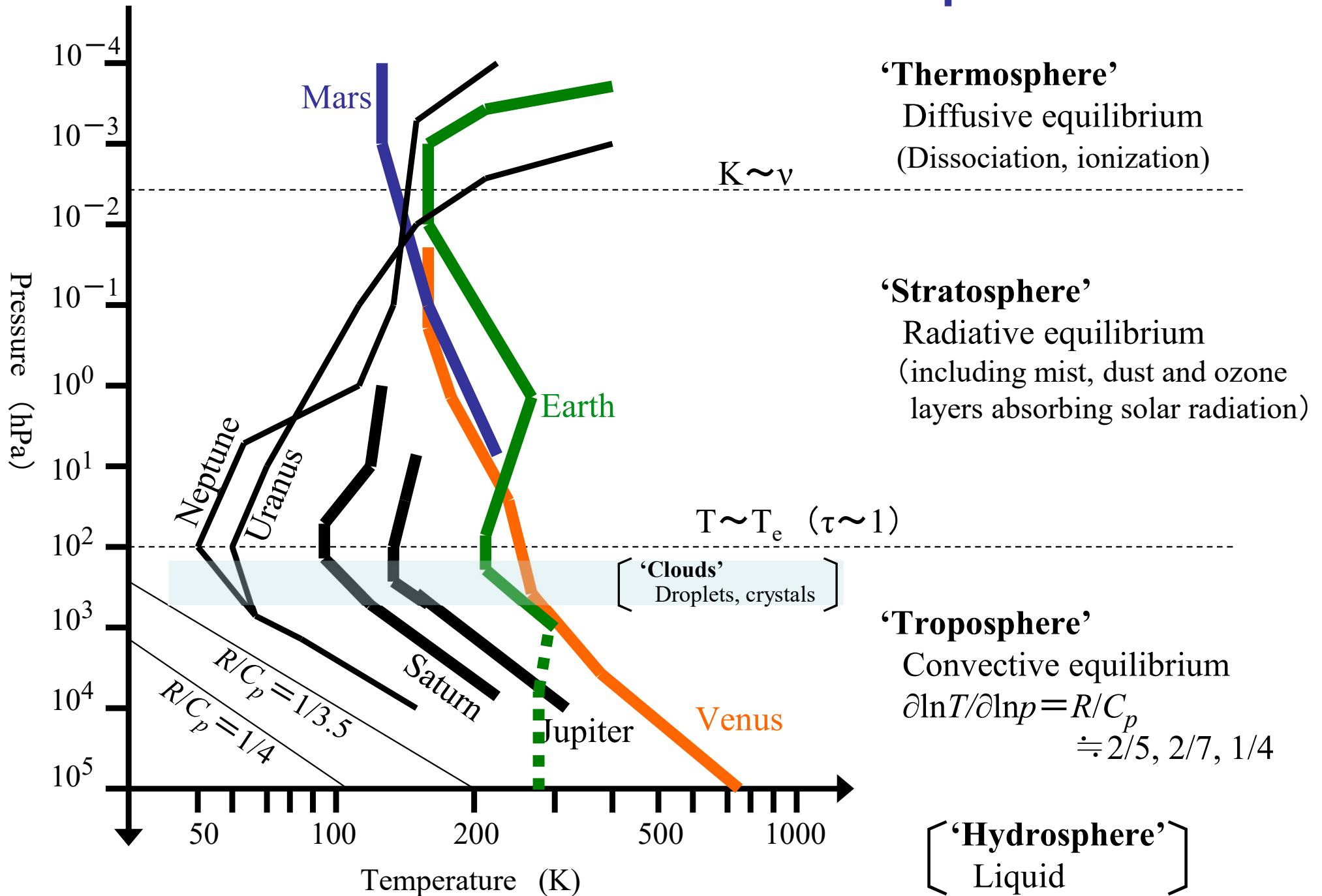
山中大学・秋山弘光・船 豊・藤野達可・西村 純 (宇宙研) J. Soegijo・T.S. Tatang (LAPAN, Indonesia)

1983年6月11日のインドネシア日食の際に太陽コロナの大気球観測が行われた。これに先立ち気球観測のための成層圏風系の観測が宇宙研とLAPAN (インドネシア航空宇宙局) によって気球・大気球・気象ロケットを用いて行われた。これらの観測結果を紹介する。下図に示したものは日食前日および当日の東西風鉛直プロファイルである。赤道成層圏の鉛直微細構造の解析としては以前に Cadet & Teitelbaum (1979, JAS, 38, 872) により GATE の資料についてなされているが、それは1974年7月の東風フェイズのものである。今回の場合、赤道成層圏西風高度付近はむしろQBOの西風から東風への交替期に当たっており、中層大気大気圏境に及ぼす擾乱の影響を考慮する上で外層に貴重な資料であると云える。下図にはCadetらの示したような比較的下方擾乱が認められ鉛直速度は約400m/day程度であるが、これはこの期間の東西風遷移の高度の降下速度とよく一致している。また特に東西風遷移の高度低下5km程度の層内に細かくかつ激しい変動が認められ、QBOの西風領域の平均上気流は現在Matsuyama等の報告は可であるが、水平方向の資料が足りないためこれと同定できるような確信は理論的に得られておらず、今後の観測を要する必要がある。会場では東西風遷移の高度周辺の鉛直微細構造について更なる観測が報告する。

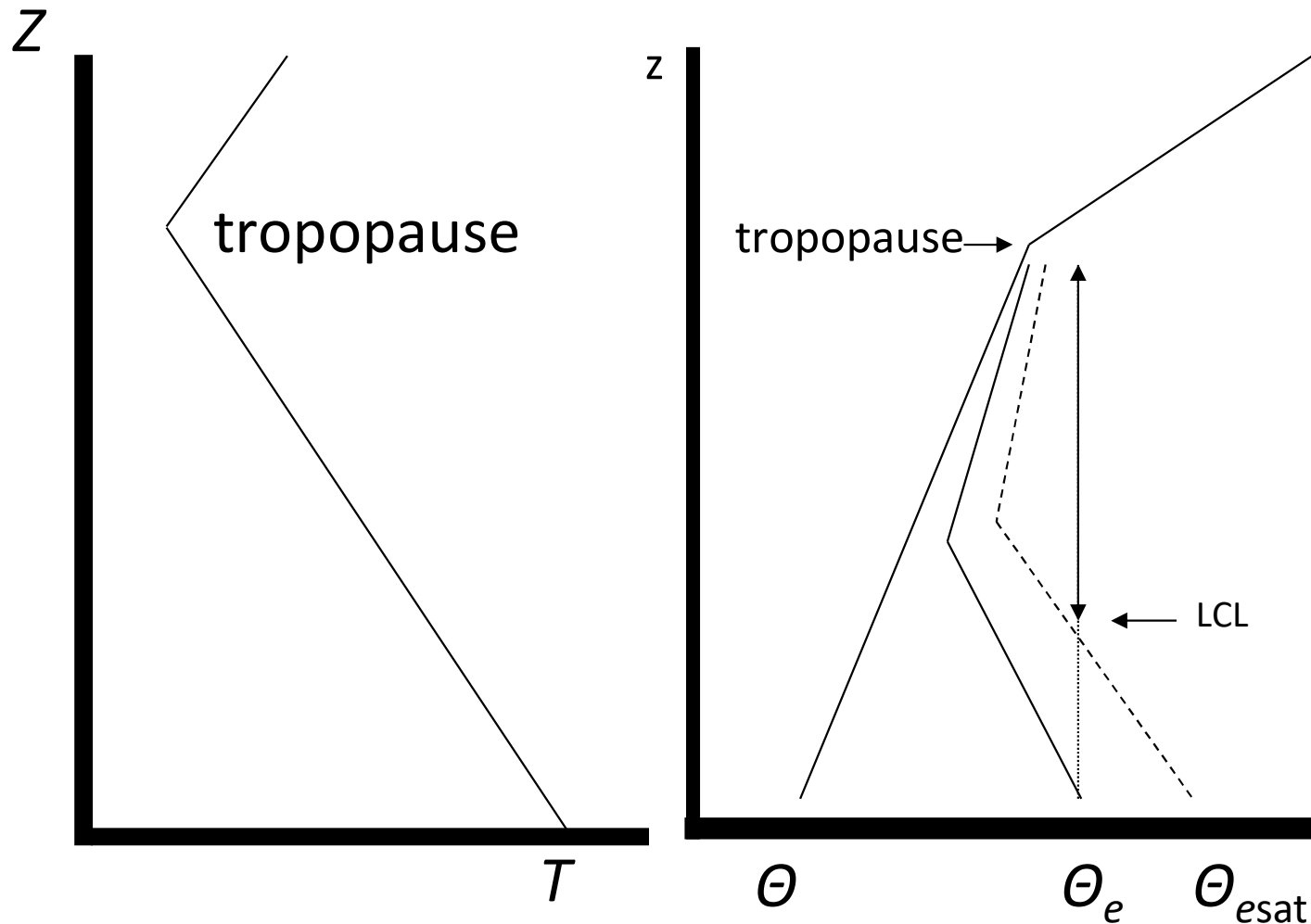


\* 宇宙研宇宙科学部 藤野達可 博士による宇宙研委託研究  
\* 藤野達可 博士による宇宙研委託研究  
\* 藤野達可 博士による宇宙研委託研究  
\* 藤野達可 博士による宇宙研委託研究

# Vertical structure of atmosphere



# Equivalent potential temperature



**(Dry) Adiabatic process:**  
Thermodynamic equation (5)

$$C_p \frac{D\theta}{Dt} = 0 \rightarrow$$

$$\theta = T \cdot \left( \frac{p_{00}}{p} \right)^{R/C_p}$$

**Moist(Pseudo-)adiabatic process:**

(5) and moisture eq. (6):

$$C_p \frac{D\theta_e}{Dt} = LS/T \rightarrow$$

$$\theta_e = \theta \cdot \exp\left( \frac{Lr_s}{C_p T} \right)$$

**“Paradox” of conditional instability:**

- Convection generated spontaneously only when cloud appears.
- Cloud becomes most active when convection is developed.

$\Rightarrow$  *Forced motions (waves, circulations), or CISK*